

Министерство высшего и среднего специального образования

Узбекской ССР

Ташкентский ордена Трудового Красного Знания государственный

университет имени В. И. Ленина

Кафедра ядерной физики и космических лучей

С. О. ЕДГОРОВ

ДИПЛОМАЯ РАБОТА

"МНОЖЕСТВЕННОЕ РОЖДЕНИЕ ЧАСТИЦ  $(^{12}\text{C} + \text{_____})$ "

взаимодействиях  $4,2 \text{ ГэВ/с}$  на склоне

Научный руководитель:

канд. физ. наук, м. н. с.

Ш. В. ИНОГРАМОВ

Рецензент

Работа допущена к защите

Зав. кафедрой

Ташкент - 1979 г.

Постановление  
дипломной работы  
выполнено в период с  
23/1-79 по 25/3-79 гг.

в лаборатории миокефалических  
процессов Физико-технического  
института им. С. В. Стеродубцева

АИ УзССР

## С Г Л А В Л Е Н И Е

	стр.
<b>ВВЕДЕНИЕ</b>	1
<b>Глава I. Основные экспериментальные и теоретические сведения о ядро-ядро соударениях при высоких энергиях (краткий обзор)</b>	3
§ 1.1. Основные экспериментальные данные по множественности вторичных частиц в ядро-ядро взаимодействиях при высоких энергиях	3
§ 1.2. Модельное описание ядро-ядерных соударений при высоких энергиях	6
§ 1.3. Каскадно-испарительная модель	7
§ 1.4. Гидродинамическая модель	8
§ 1.5. Кластерная модель	9
§ 1.6. Модели периферических столкновений	10
<b>Глава II. Методика эксперимента</b>	11
§ 2.1. Пучок и камера	11
§ 2.2. Обработка данных с пузырьковых камер	12
§ 2.3. Методика и правила просмотра. Отбор событий	15
<b>Глава III. Экспериментальные данные по множественности вторичных частиц в (<math>C+Ta</math>) взаимодействиях</b>	20
§ 3.1. Средние множественности вторичных частиц	20
§ 3.2. Распределения по множественности вторичных частиц	22
§ 3.3. Корреляция между множественностями вторичных частиц	23
<b>Заключение</b>	25
<b>Литература</b>	27

## В В Е Д Е Н И Е

Основной целью данной дипломной работы является изучение взаимодействия, релятивистских ядер углерода с ядром тантала при импульсе 4,2 Гэв/с на пучков.

Сведения о свойствах неупругих столкновений релятивистских ядер, которыми мы располагаем отрывочны и очень неполны.

В настоящее время изучением ядро-ядро взаимодействий занимается в лабораториях высоких энергий многих стран, но полученных данных пока мало.

К сожалению существенные изменения свойств полетающего ядра и ядра - явления в процессе столкновения и необходимость одновременного учета очень большого числа частиц участвующих во взаимодействии, приводят к тому, что у нас сейчас нет последовательной теории неупругих столкновений высокозергетических ядер, если только одно из них не является дейтоном или в крайнем случае - частицей.

В работе приводятся данные по множественности вторичных частиц

и образованных в взаимодействиях. Данные настоящей работы сравниваются с результатами полученных при облучении ядер релятивистических ядер при том же импульсе во пучков ускоренного ядра.

Первая глава дипломной работы представляет собой краткий обзор экспериментальной и теоретической ситуации в физике неупругих ядерно-ядерных соударений при высоких энергиях. Во второй главе описано методика эксперимента.

Третья глава посвящена рассмотрению экспериментальных данных данной дипломной работы.

В заключении представлены выводы дипломной работы.

## ГЛАВА I

### ОСНОВНЫЕ ЭКСПЕРИМЕНТАЛЬНЫЕ И ТЕОРЕТИЧЕСКИЕ СВЕДЕНИЯ О ЯДРО-ЯДРО СОСТАРЕНИЯХ ПРИ ВЫСOKИХ ЭНЕРГИЯХ.

#### § I.1. Основные экспериментальные данные по множественности вторичных частиц в ядро-ядро взаимодействиях при высоких энергиях.

Большая часть экспериментальных работ по ядерным "ядро-ядро" взаимодействиям выполнялась с помощью трековых приборов (фотосуммации, пузырьковые камеры, стримерные камеры) / 2 /.

Из экспериментов по взаимодействию космических ядер с ядрами эмульсии в широком интервале энергий (от нескольких Гэв до 100 Гэв на ядро) можно выделить следующие особенности / 1 /:

- 1) ливневые — частицы состоят, в основном, из пионов, образованных во время столкновения, и протонов испытывающего ядра. Неделенные — частицы где для — частиц  $I_{\pm 4}$  и для — частиц или пробег "чорных" частиц в эмульсии 5 мкм), в основном, связаны с ядро-именем;

- 2) средние множественности сильно ионизирующих частиц для ядерных нуклон-ядро и ядро-ядро ( ) приблизительно одинаковы. Переход от нуклон-ядорных взаимодействий к ядро-ядерным в определенном смысле есть переход к более высоким энергиям;

3) средние множественности ливневых частиц  
в "центральных" и "периферических"  
взаимодействиях с легкими ядрами эмульсии сильно от-  
личаются. Это связано с рождением большого числа заряженных  
пиона в центральных столкновениях ядер:

4) в распределении наблюдается две пико-  
вые синхронизации в ядерной фотореакции двух сильно-  
различающихся групп ядер

В работах / 3, 4 / обнаружено, что средние множествен-  
ности релятивистских серых, черных, сильноонизирующих ча-  
стиц и мезонов, при взаимодействии ядер с зарядом  
с ядрами эмульсии в интервале энергий

2 + Гэв/нуклон, растут с ростом массы ядра, но средняя мно-  
жественность релятивистских протонов остается  
постоянной. Расчеты, сделанные в каскадно-испарительной мо-  
дели / 5 / хорошо согласуются с экспериментальными данными.

Голосов и др. / 6 / показали, что при взаимодействии  
с ядрами

и с энергией 0,4 и 1,05 Гэв/нуклон, средняя множественность  
заряженных частиц дается выражением, вытекающим

из простой геометрической модели:

т.о. связано с полным числом существующих в реекции протонов из ядер и спариде.

В работе (?) сравнивая средние множественности вторичных частиц, в взаимодействиях показали, что вуллоны — частицы при неупругом столкновении оказывают влияние друг на друга. Увеличение средней множественности — мезонов, — частиц и быстрых протонов в — столкновениях различно. Возможно, что большой рост средней множественности быстрых протонов связан с увеличением энергии протонов, выбиваемых из ядра вольфрама.

В работе (8,9) показали:

а) с ростом массового числа ядра-спариде средняя множественность однозарядных радиопионерских частиц быстро возрастает, при этом существенно увеличивается и число "свирьих" зраков.

б) множественность наиболее медленных фрагментов ядер ( — частиц ) в соударениях с ядрами эмульсии сильно уменьшается с ростом

Интересная информация о динамике рождении частиц в соударениях может быть получена из изучения корреляций между множественностями различных типов вторичных частиц / 10/.

Данные по корреляции показывают рост возбуждения ядро-ионами с ростом числа столкновений . В области роста просматривается (эффект "насыщения"). Корреляция имеет линейный характер, т.е. число рожденных ливневых частиц — линейной функции от числа внутриядерных столкновений . Указанной тенденции сокращается как для легких, так и для тяжелых ядер ионов.

### § I.2. Модельное описание ядро-ядерных соударений при высоких энергиях.

Ядро-ядерные взаимодействия при высоких энергиях вызывают значительный и все возрастающий интерес, связанный с новыми возможными применением коллективных свойств ядерной материи при высоких плотностях и изучением истинной универсальности в соударениях составных систем /9/. Эксперименты по кумулятивному излучениюобразованию и фрагментации релятивистических ядер, а также гипотезы об образовании ядерных изомеров плотности и формирования ядерных ударных волн указывают на то, что исследование соударений релятивистических ядер весьма привлекательно с

точки зрения получения новых важных сведений о динамике сильных взаимодействий /8/. Теоретический анализ ядерно-ядерных взаимодействий в чрезвычайной степени осложнен отсутствием последовательной теории сильных взаимодействий и очень большим числом частиц в конечном состоянии акта рождения. К настоящему времени предложено большое число моделей процесса, предназначенных для описания определенных его черт. Условно их можно разделить на 2 группы:

- a) микроскопические модели (каскадно-исперительная модель, модели типа Глаубера, составные модели (кварки, портоны) и т.д.)
- b) макроскопические модели (статистические, термо- или гидродинамической модель "коагерентной трубы" и т.д.) ;

Основные физические отличия между этими двумя группами моделей, в грубых чертах, состоят в том, что в а - первых ядерно-ядерное взаимодействие "раскладывается" на более простые (микро-вуклонные или, скажем, кварк-кварковые) соударения, во-вторых, не отдают предпочтение коллективному характеру взаимодействия. Ниже рассмотрим кратце некоторые наиболее характерные модели.

### § I.3. Каскадно-исперительная модель.

В рамках каскадной модели /8/, каждое из стоящих один над другим ядер в собственной системе координат рассматривается как ферми-

рез нуклонов в потенциальной яме Будда-Саксона . Предполагается, что нуклоны взаимодействующего ядра могут быть описаны в лабораторной системе как независимые частицы, характеризующие 4-вектором пространство - времени и 4-вектором энергии - импульса с эффективной массой

где  $m_0$  — масса свободного нуклона,  $E_0$  — энергия связи нуклонов в ядре. Модель по ровным основаниям рассматривает ядро-свертывание и ядро-разрывание, учитывая одновременно развитие внутриддерного каскада в обоих ядрах. При этом учитываются процессы мезонообразования, дифракционное скатие, влияние принципа Паули, эффект изменения ядерной плотности по мере развития каскада. Физическая картина первой стадии взаимодействия напоминает задачу столкновения двух облаков заряда.

#### § I.4. Гидродинамическая модель.

В основе этой модели / 12 / лежат следующие гипотезы:

- а) в начальный момент образуется составная система, находящаяся в статистическом равновесии;
- б) объем системы в начальный момент совпадает с тем, который используется в статистической теории со связью объемом
- в) процесс взаимодействия ядер приводит к трехфазному пе-

рекоду в состоящей системе.

Во второй фазе происходит гидродинамическое расширение системы (гидродинамика используется именно, начиная с этого момента). Расширение в пустоту происходит не изотропно. Третья фаза наступает при температуре (тоны являются выделенными частицами в этой модели) — происходит распад элементов гидродинамической системы (образуются независимые реальные частицы).

Средняя множественность в гидродинамических моделях для столкновения одинаковых ядер имеет вид:

$$\text{где } \bar{n} = \frac{m_1 v_1}{m_1 + m_2} \quad \text{— относительный вес налетающего ядра в лабораторной системе;}$$
$$m_1 = \text{масса ядра.}$$

### § I.5. Кластерная модель.

В модели Колликин-Шмидтса /11/ ядрон-ядерного соударения рассмотрен процесс прохождения через ядро одного медленного и расширяющегося до размеров кластера (лидирующая частица в этой модели вообще говоря, возбужденная, оказывается после первого соударения "обрубленной" и далее с ядром не взаимодействует — средняя множественность в элементарном акте). При извихрьесическом дви-

жевии через ядро кластер теряет энергию на соударения с внутривидерными нуклонами и, с другой стороны, изменяет свою внутреннюю энергию. Уровни движения кластера и изменения его внутренней энергии; его эволюции и распада рассматриваются в рамках статистической модели Померанчука.

Недавно в работах Келликиса - Шмонине (13-14) кластерная модель использована для описания ядро/- ядро взаимодействий.

#### § 1.6. Модели периферических столкновений.

Для объяснения периферических столкновений "ядро-ядро" было предложено несколько теоретических моделей /15,16,17/. Хотя эти модели отличаются в деталях, но большинство из них основывается на двухстадийном механизме реакции. На первой стадии реалистичный тяжелый ион сталкивается при большом присечном параметре с ядром мишени, которая незначительно его замедляет и в некоторой степени возбуждает. На второй стадии происходит распад возбужденных остатков сверху и мишени.

В заключение этой главы отметим, что имеется также ряд частных конкретных расчетов тех или иных характеристик ядро-ядерных взаимодействий, основанных на самых различных предположениях.

## ГЛАВА II

### МЕТОДИКА ЭКСПЕРИМЕНТА

#### § 2.1. Камера и пучок.

В настоящей дипломной работе использовались стереофотографии, полученные с помощью двухметровой пузырьковой пропановой камеры лаборатории высоких энергий СИИ (ДТК-500). В рабочем объеме двухметровой пропановой пузырьковой камеры было размещено ишпенъ, состоящая из трех танталовых пластин толщиной 1 мм. Расстояние между соседними пластинами было равно 10 см. Пластини ишпенъ располагались в первой половине камеры параллельно стереобазе фотографической системы (рис. 2.1.)

Рабочая жидкость камеры — пропан. Освещение рабочего объема камеры производится импульсными лазерами НСК — 200 по 13 лазерам с каждой стороны. Фотографирование производится на 50 мк пленку двумя оптическими системами из трех объективов каждого.

Камера экспонировалась в пучке релятивистских ядер углерода с импульсом 4,2 Гэв/с на пучки на Дубненском ускорителе. Размеры камеры (210 x 65 x 40) см<sup>3</sup>. Приносъ частиц другого сорта к первичному пучку релятивистских ядер углерода 1%

### § 2.2. Обработка данных с пузырьковых номер.

Цель просмотра - выявление и регистрация событий зафиксированных из фотопленки и удовлетворяющих критериям определенной физической задачи. Изображение треков проецируется на обычный монитор экран. При этом следует использовать по крайней мере две проекции каждого кадра, чтобы не пропустить интересные случаи взаимодействия или распада. Вследствие большого числа кадров обычный просмотр осуществляют просмотрщики, имеющие необходимую подготовку. Затем специалисты, т.е. физики, просматривают необычные и неповторимые события.

При просмотре важен способ регистрации результатов, потому, что эта информация является путеводным листом эксперимента. Поэтому информация должна храниться для каждого события. При регистрации указывают порядковый номер пленки и кадра, историю спаривания события, тип события, а также дополнительную физическую информацию, которая может потребоваться.

Для определения эффективности просмотра засекают просмотреть весь ролик пленки или часть его. Затем сравнивая результаты обоих просмотров, определяется эффективность двойного просмотра / 18 /:

Практически величина (или ) составляет более 0,9 для большинства топологических типов событий, а эффективность двойного просмотра близко 0,99 (99 %). Поэтому в некоторых экспериментах все кадры просматривают дважды, но для больших экспериментов это экономически невыгодно.

Более частая причина неэффективности — пропуск событий, их неправильная идентификация и пропуски при записи результатов. Первая причина имеет случайный характер и, вероятно связана с усталостью и общим состоянием просмотра. Две другие чаще всего являются результатом плохо составленной конструкции просмотра и недостаточной тренированности персонала. Последнее особенно справедливо в отношении длительной информации, для которой эффективность записи иногда падает до 50 % — просмотрщики просто не понимают важности этой информации для физиков.

Основной целью измерений является перевод содержащейся на фотоснимке информации в цифровую форму. Цифровая информация используется для идентификации событий путем восстановления пространственной картины события и кинематического анализе, потому что идентифицировать события при просмотре невозможно. Кроме того, эти же данные служат для получения физических результатов, составляющих цель эксперимента.

При анализе данных с пузырьковых камер широко используют

ся цифровые вычислительные изники (ЦВИ). Включение ЦВИ в качестве звена измерительного комплекса явилось исключительно важным шагом в технике измерения фотографий. Объем данных столь велик, что использование методики пузырьковых измер без мощи универсальных цифровых вычислительных машин стало невозможным. Обработка результатов, полученных после измерений, условно делится на шесть этапов:

- 1) пространственное восстановление каждого зрения события;
- 2) кинеметический анализ каждой вершины;
- 3) интерпретация каждого события;
- 4) вычисление физических величин для каждого события;
- 5) анализ эксперимента в целом, включая воспроизведение данных;
- 6) составление библиотеки данных эксперимента, которая может пополняться по мере появления новых данных.

Существует несколько больших систем обработки и анализа данных.

Автоматизированная система обработки снимков с пузырьковым измерением, используемая в лаборатории инновационных процессов АГН УзССР была создана на базе просмотровых столов, измерительных установок ПК, комплекса программ геометрической

реконструкции и кинематической обработки по ЭИ и «222 /19/.

Связь измерительных установок с ЭИ осуществляется через электронную стойку связи «мультимексор», позволяющую четырем объектам обмениваться с ЭИ в режиме прерывания потенциальными кодами.

### § 2.3. Методика и правила просмотра.

Просмотр стереофотографий производился на репроекторах РР-1 и РР-2, изготовленных в лаборатории инженерных процессов ФТИ АН УзССР. Несколько увеличения изображения на обоих репроекторах состояли 1 х 10. Одновременно на одном столе могут просматриваться стереофотографии с двух проекций. В сложных съёмках просматривались и третья проекции стереофотографий. Это даёт возможность одновременно просматривать весь рабочий объём измеры.

Теперь приведем некоторые правила просмотра для изучения неупругого взаимодействия релятивистских ядер углерода с ядрами тантала / 20 /:

1. При просмотре используются I и II проекции. Основным выбран объектив I.

2. Кадр бракуется по следующим причинам:

- a) нет одной из двух проекций, либо она в нерабочем состоянии;

б) первую пластинку пересекает больше 10 первичных и 10 вторичных треков;

в) кинематика в камере не позволяет определить, где произошло событие;

г) — электроны во первичных следах практически не выбыли.

3. Пучковый счетчик треков:

а) если число первичных треков  $n_{\text{трк}} \geq 2$ , то они должны быть параллельны.

Расходность по длине от входного окна до I пластинки мишени не больше 3 мк. Первичным считается трек пересекающий все три пластиинки в выбранной эффективной области;

б) если входной трек один, то его можно сравнять с первичными треками по другому кадру, где  $n_{\text{трк}} \geq 2$

в) первичные треки от ядер углеродца имеют большое количество  $\delta$  — электронов.

4. Эффективная область для взвода в пластинах задается расположением крестов (рис. 2.2, застриковано).

По пучку эффективная область ограничена I и II пластинками. В поперечном направлении область задается расстояниями от линии проходящей через кресты на I проекции. Расстояния от крестов в равны 80 мк и 150 мк при увеличении и нетурбозных размерах. Эффективная область отсекает часть дли-

ны пластин, где изжение минимально.

5. Если звезде возникла в тентаке, то ее вершину расположено в зоне тонкой белой полосы с точностью 1 м.

После визуального отбора звезд в пластинах, эксперимен-  
тальный материал содержит следующие погрешности ( в скобках  
приводится оценочная величина соответствующей погрешности) /2/

1. Примесь собьки от взаимодействий в пропане вблизи  
пластины =  $(6 \pm 10)$  %

2. Примесь обычной когерентного типа (3-5) %

3. Потери случаев извивупрого рассеяния протона на лета-  
щего ядре во цуклонах ядре мишени = 2 % ;

4. Потери случаев извивупрого рассеяния нейтрона на ле-  
тащего ядре во цуклонах ядре мишени =  $(2 \pm 3)$  %

5. Потери малоэнергичных строительных треков с  
составщик в основном из мезонов =  $(2 \pm 5)$  %;

6. Примесь электронов и строительных странных частиц и  
— мезонов = 3 %.

7. Изменение величины средней множественности из-за взаимо-  
действия вторичных частиц в пластинах:

а) Изложение первичной и вторичной звезд в пластинах из-  
за взаимодействия быстрых вторичных частиц не превышает 2 %

для всех облучений.

б) При прохождении пластики и слоя пропено  $3 \text{ м} \cdot \text{мм}$  за-  
держивается практически все тяжелые ядра с кинетической  
энергией  $10^6 \text{ эВ/нуклон}$  ( $\sim$  частицы в эмульси-  
онной терминологии). Сверхскоростные треки с повышенной иони-  
зацией считаются  $\sim$  следами. Плотность  
ионизации соответствует протонам с импульсом  
 $\sim$  Примесь  $\sim$  частиц и  $\sim$  следов в данном  
спредделении составляет  $3\%$ . Примесь неидентифицируемых  
ядрообразных треков от  $\sim$  мезонов незначительна.

в) Вторичное взаимодействие сверхскоростных треков не  
изменяет существенно множественность  $\sim$  частиц, т.е. про-  
дукты взаимодействия отчасти порождаются пластикой и пропеном.

В результате анализа возможных исключений и введении по-  
прежнему средние множественности положительных, отрицательных  
и релятивистских частиц отличаются от первоначально наблюдаемых  
не больше, чем на  $5\%$ .

При просмотре отличались стрингинговые частицы.  
Число стрингинговых частиц (фрагмент напечатанного ядра,  
вылетевший из ядра по отношению к первичному пучку под углом  
 $\sim$  импульсом  $10^6 \text{ эВ/с на нуклон}$ )  $\sim 40$ ,  
углорада с импульсом  $4,2 \text{ ГэВ/с на нуклон}$

из нуклонов) определялось путем подсчета полодительных треков с импульсом ГэВ/с из нуклонов и углом  $40^{\circ}$  при вычитании определенной доли примесных случаев для однорядовых частиц. Импульс определялся пленкой, в угле транспортиром. Измерения проводились, во время просмотра на просмотровых стенах.

При просмотре регистрировались также квенты, Делициперы и - частицы. Регистрации - квентов проводилась по - парам. Если линии, соединяющие вершины звезды и пары и - частицы проходили между треками электрона и позитрона, то считалось, что - квант "смотрит" в данную звезду. - частица относилась к звезде, если линия соединяющей вершины звезды и - частицы находилась в пределах угла раствора - частицы. Было дважды просмотрено 2000 кадров. При просмотре было отобрано 43 взаимодействий, в которых найдено 46 гамма-квантов и 4 - частицы.

## ГЛАВА III

### ЭКСПЕРИМЕНТАЛЬНЫЕ ДАННЫЕ ПО ИМНОСТЕННОСТИ ВТОРИЧНЫХ ЧАСТИЦ В ( ) ВЗАИМОДЕЙСТВИЯХ ПРИ ИМПУЛЬСЕ 4,2 ГэВ/с НА ПУЛОН

#### § 3.1. Средние множественности вторичных частиц.

Сводные данные по средним множественностям вторичных частиц приведены в таблице 3.1, там же приведены данные для ( ) взаимодействий при одинаковом импульсе на пулон ускоренного ядра /21/. Из приведенных следует, что средняя множественность ограничительных частиц в ( ) взаимодействиях выше, чем для ( ) — взаимодействий. Отношение оказалось равным  $(7,18 \pm 0,82)$ . Это величина в первом приближении, определяет число пулонов ядре сверху, произошедшими с множественностью выше получена в работе /22/, при исследовании взаимодействий ядер с ядром эмульсии, при близких значениях импульсов.

Средняя множественность сильноионизирующих треков с ростом , растет примерно в три раза. Но этот рост существенно слабее, чем рост множественности ограничительных частиц.

ных частиц (эти они относятся к рождающимся частицам).

Проверка зависимости средней множественности строительных частиц от массового числа излетающего ядра показала, что зависимость вида  $\propto$  хорошо описывает имеющиеся данные. Значения параметров:

(фильтрование экспериментальных данных проводилось методом полиномов квадратов по программе, созданной Силиным И.И. /25/).

На рис. 3.1. приведены данные по для ( $\pi^- p \rightarrow \pi^- p$ ) взаимодействий ( $\pi^- p \rightarrow \pi^0 p$ ) при одном импульсе из нуклонов / 21/.

Аналогичная проверка для средней множественности моделей нуклонов показала, что зависимость вида ( $\propto$ ) неудовлетворительно описывает экспериментальные данные (см.рис. 3.2.). Значения параметров:

$$= 2,88 \pm 0,11 \pm = 0,41 \pm 0,03.$$

Таким образом видно, что зависимости от atomicного номера излетающего ядра отличаются. Отметим, что при анализе ядрон - ядерных взаимодействий наблюдалась разная степень зависимости от atomicного ядра модели ( $\pi^- p \rightarrow \pi^0 p$ ).

При просмотре было обнаружено 46 - квантов, которые были отнесены к стобренным случаям взаимодействия ( $\pi^- p \rightarrow \pi^0 p$ ). Средняя множественность - квантов приведена в таблице 3.1.

Для определения средней множественности - мезонов (продукции распада ионов) и явлений большинство зарегистрированных - квантов) необходимо измерения - квантов. Но характер поведения множественности - квантов, от множественности вторичных заряженных частиц, отражает поведение - мезонов.

### § 3.2. Распределения по множественности вторичных частиц.

Распределения по множественности вторичных отрицательных частиц представлены на рис. 3.3.

Распределение фитировалось функцией Пуассона:

(3.2.1)

Результаты фитирования следующие:

$2.58 \pm 0.26$

= 13.3, при 8 степенях свободы.

Таким образом экспериментальное распределение можно аппроксимировать функцией (3.2.1). Иначе говоря предположение о переходах частиц в независимых стационарных состояниях ядер не согласуется с экспериментом. Интересен вопрос о статистических свойствах распределения по множественности вновь рож-

денных частиц из ядро-ядерных взаимодействий. Данные работ /24, 25/ показывают, что КНО — функция для — незонов, для столкновений ядро-ядро, одинаковы при различных налетающих ядрах и для различных ядер мицелии. На рис. 3.4, представлена КНО-зависимость для — незонов, образованных в взаимодействиях и в столкновениях ( ) при из нуклонов / 24/.

Видно, что в пределах экспериментальных ошибок, наблюдаемые зависимости одинаковы и следовательно предположение о склонности по множественности для столкновений ядро-ядро не противоречит экспериментальным данным.

### § 3.3. Корреляции между множественными вторичными частицами.

Одной из важных характеристик ядро-ядерных и ядро-ядерных взаимодействий являются корреляции существующие между вторичными частицами.

На рис. 3.5. приведена зависимость от множественности протонов . Видно, что имеет место линейный рост с ростом . К сожалению большие ошибки не позволяют строго определить характер роста.

На рис. 3.6. приведено зависимость средней множественности — кластеров от множественности строительных частиц. Указанная зависимость для ядро-ядерных и ядро-нуклон-

ним взаимодействий характерна при

10 ГэВ/с /27/

Наклон укрупненной линейной зависимости распределения первичного импульса. В области

данные по обно-

руживании этой зависимости, а при импульсе

имеет нес-

то уменьшение / 28/ с ростом множественности вторичных заряженных частиц. В нашем эксперименте при 4,2 ГэВ/с на пучковые имеем несогласие, то, что наблюдается в ядро-ядровых взаимо-действиях при больших энергиях.

Таким образом, из приведенных данных следует, что характеристики ядро-ядро- взаимодействий похожи на аналогичные ха-рактеристики в ядро-ядровых столкновениях при высоких эне-ргиях. Переход к столкновениям релятивистских ядер в определенном смысле эквивалентен переходу к высоким энергиям.

## ЗАКЛЮЧЕНИЕ

В настоящей работе исследовано множественное рождение частиц в столкновениях ядер углерода с импульсом из нуклонов с ядрами тантала ( ).

Сформулируем основные результаты работы:

1. С помощью двухметровой пропановой камеры ДПК-500 исследовано образование вторичных частиц в столкновениях ядер углерода с ядрами тантала. При просмотре из 2000 изадров было отобрано 43 события.
2. Определены средние множественности стрингетальных радиоактивистских частиц, медленных протонов и гамма квантов. Они оказались равными  $\bar{n} = 3,23 \pm 0,34$ ;  $\bar{p} = 8,34 \pm 0,02$ ,  
 $\bar{\gamma} = 1,05 \pm 0,17$
3. Исследовано зависимость средних множественностей от ядерного номера ядра-спарядка. Зависимость аппроксимирована функцией виде: . Данные хорошо описываются указанной зависимостью. Значения параметров для  $\bar{n} = 0,46 \pm 0,02$ ;  $\bar{p} = 0,78 \pm 0,03$ ;  
для  $\bar{\gamma} = 2,92 \pm 0,11$ ,  $\bar{\gamma} = 0,39 \pm 0,03$ .
4. Распределения по множественности стрингетальных частиц не описываются функцией Пуассона.

5. Данные обнаруживающие существование корреляции в решении отрицательных частиц и протонов.

6. Данные по множественности отрицательных частиц, образованных в ( ) взаимодействии удовлетворяют КПО скользящей линии.

КПО функции для них совпадает с соответствующей зависимостью для столкновений релятивистских ядер при других значениях импульсов.

7. В отличие от данных для ядерно-ядерных столкновений, при том же значении импульса приходящегося на нуклон ускоренного ядра, данные по ( ) взаимодействиям обнаруживают существование корреляции между множественностью величины и множественностью ядерного роста, с

В течение дипломной практики мне оказали большую помощь своим ценных советами и замечаниями мой руководитель  
Н. В. Ивогемов.

Большую помощь также мне оказали и весь коллектив лаборатории ядерных процессов, заведующий лабораторией  
Л. А. Биданев.

Я выражая им всем свою глубокую благодарность.

Л И Т Е Р А Т У Р А

1. Берзенков В.С., Тонеев В.Д. "Взаимодействие высокоскоростных частиц и ядерных ядер с ядром". Москва, Атомиздат, 1972.
2. Р.А.Бондаренко, К.Г.Гуллинов, У.Г.Гуллинов, Ш.З.Насыров, Л.Н.Свечников, Г.М.Чернов. "Изв. АН УзССР", сер. физ.-мат. науки, № 5, 60, 1977.
3. 31, 527, 1966.
4. 38, 467, 1968.
5. К.К.Гуллинов, В.Д.Тонеев, Сб. "Образование и распад возбужденных ядер", "Чизнэр", Кишинев, 1976.
- 6.
7. Сотрудничество: Алья-Ата, Будапешт, Бухарест, Верна, Вершино, Дубно, Ереван, Краков, Москва, Прага, София, Ташкент, Тбилиси, Улан-Батор. Препринт - 10779.
8. ЯФ, т. 29, вып. 1, стр. 105 + 116, 1979.
9. А.И.Бондаренко, К.Г.Гуллинов, У.Г.Гуллинов, Ш.З.Насыров, Л.Н.Свечников, Г.М.Чернов. "Изв. АН УзССР", сер. физ.-мат. науки, № 2, 73, 1979.
10. К.Г.Гуллинов, У.Г.Гуллинов, Ш.З.Насыров, Л.Н.Свечников, Г.М.Чернов. "Доклад на 18-Международную конференцию по фи-

зако высоких энергий". Тбилиси, июль, 1976.

II. В.Н.Клименко, В.Л.Шимонин. "Препринт, Р2-7870", Дубна, 1974.

12. Л.Д.Ланду, С.З.Белопольский. "Чон", 56, 309, 1955.

13.

61-77 "

1977.

14. Д.Г.Баранов и др. "Препринт АН СССР", с.н.и. А.С. Победа, 562, Ленинград, 1977.

15.

47, 300, 1975.

16.

60В, 327, 1976

17.

37, 1202, 1976.

18. Автоматическая обработка данных с пузырьковых и искровых камер". Атомиздат, 1971.

19. "Многостенные процессы при высоких энергиях". Изд. ФИАН УзССР, Ташкент, 1976.

20. "Правила просмотра для определения неупругого сечения взаимодействия ядер ( ) с ядром тантала и пропионом". ЛВО ОИИ, декабрь, 1977.

21.

Е1-11517, 1978.

22. Е.Г.Гуламов, У.Г.Гуламов, Ш.З.Песиров и др. ДАН УзССР, к 2, 1977.

23. И.Н.Силин. Сообщения ОИЯИ, Дубна, 1968.

24.

40, № 5,392, 1978

25. М.Х.Аникина и др. Я.Ф. 27, 724, 1978.

26. Ш.З.Насыров. Диссертация, Ташкент, 1979.

27.

28.

$^{12}\text{C} \rightarrow$

$A^+$	$\sim$	$w$	$\xi$	$\zeta A$
$B^+$	+	+	+	+ B
$C^+$	+	+	+	+ C
$D^+$	+	+	+	+ D
$E^+$	+	+	+	+ E

Рис. 2.1. Схема расположения мишений из тантала в пузырьковой камере ДТПК-500

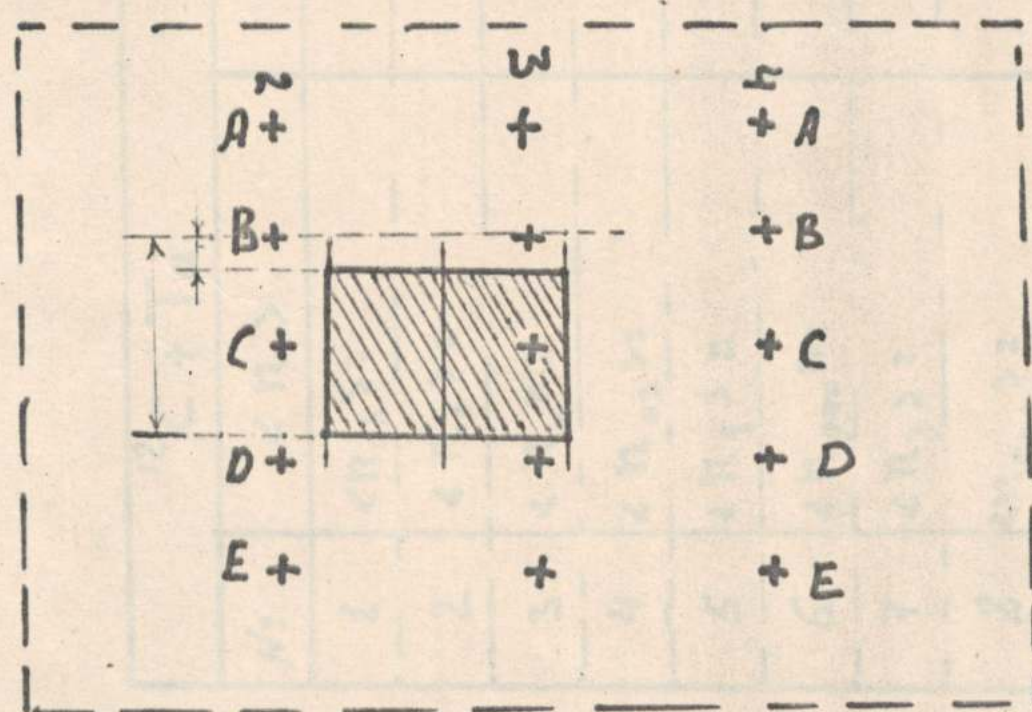


Рис. 2.2.

Таблица 3.1.

$^{12}\text{C} + \text{Ta}$		$P + Ta$
$N:$	$\langle n \rangle$	$D: \sqrt{\langle n^2 \rangle - \bar{n}^2}$
1	$\langle n_{ch} \rangle =$ —	$\langle n_{ch} \rangle =$ —
2	$\langle n_+ \rangle =$ —	$\langle n_+ \rangle =$ —
3	$\langle n_- \rangle =$ —	$\langle n_- \rangle =$ —
4	$\langle n_{os} \rangle =$ —	$\langle n_3 \rangle =$ —
5	$\langle n_1 \rangle =$ —	$\langle n_\rho \rangle =$ —
6	$\langle n_{pen} \rangle =$ —	$\langle n_{pen} \rangle =$ —
7	$\langle n_\gamma \rangle =$ —	$\langle n_{SP2} \rangle =$ —
8	$\langle n_{SOS} \rangle =$ —	$\langle n_{SOS} \rangle =$ —

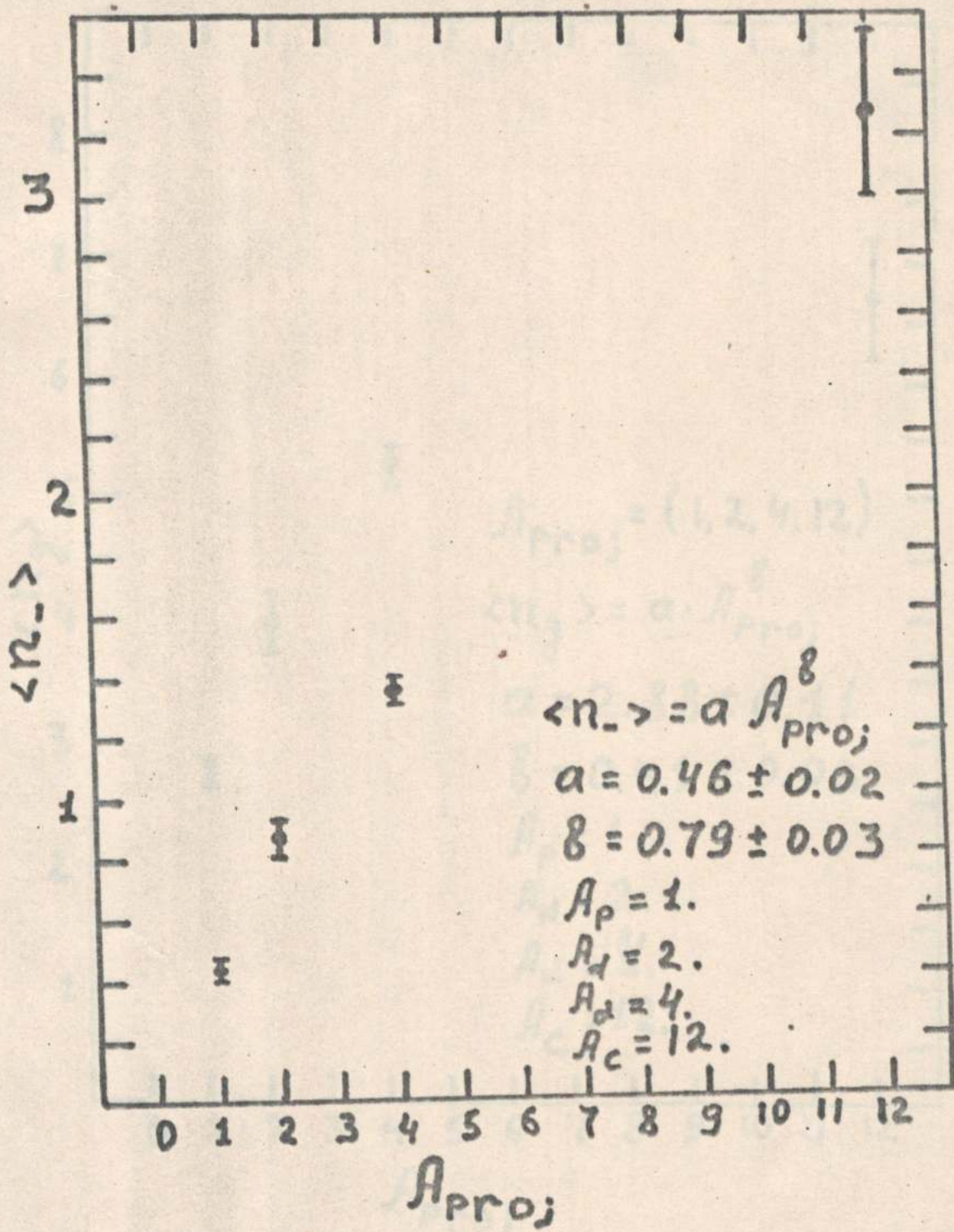


Рис. 3.1.

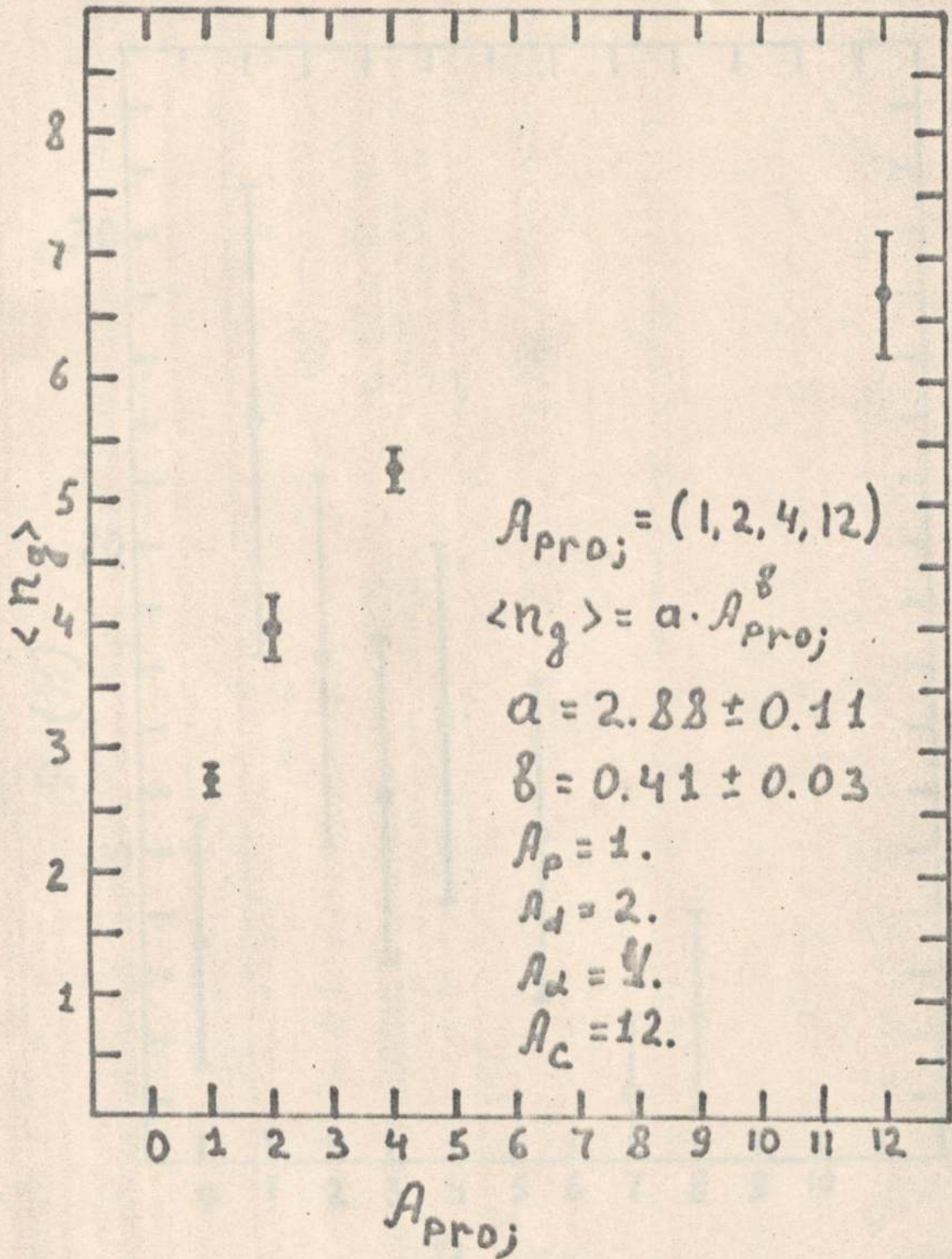


Fig. 3.2.

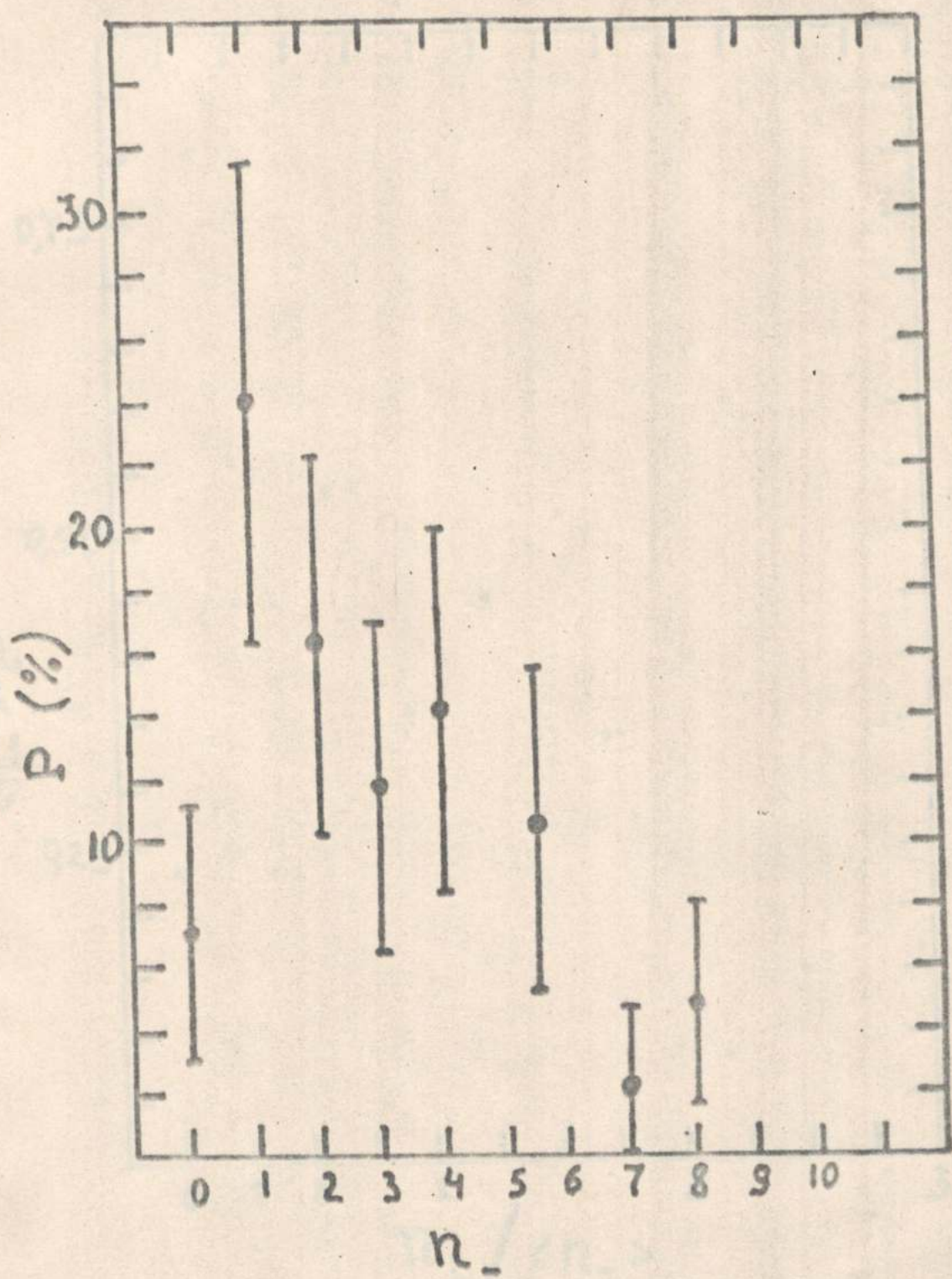


Рис. 3.3.

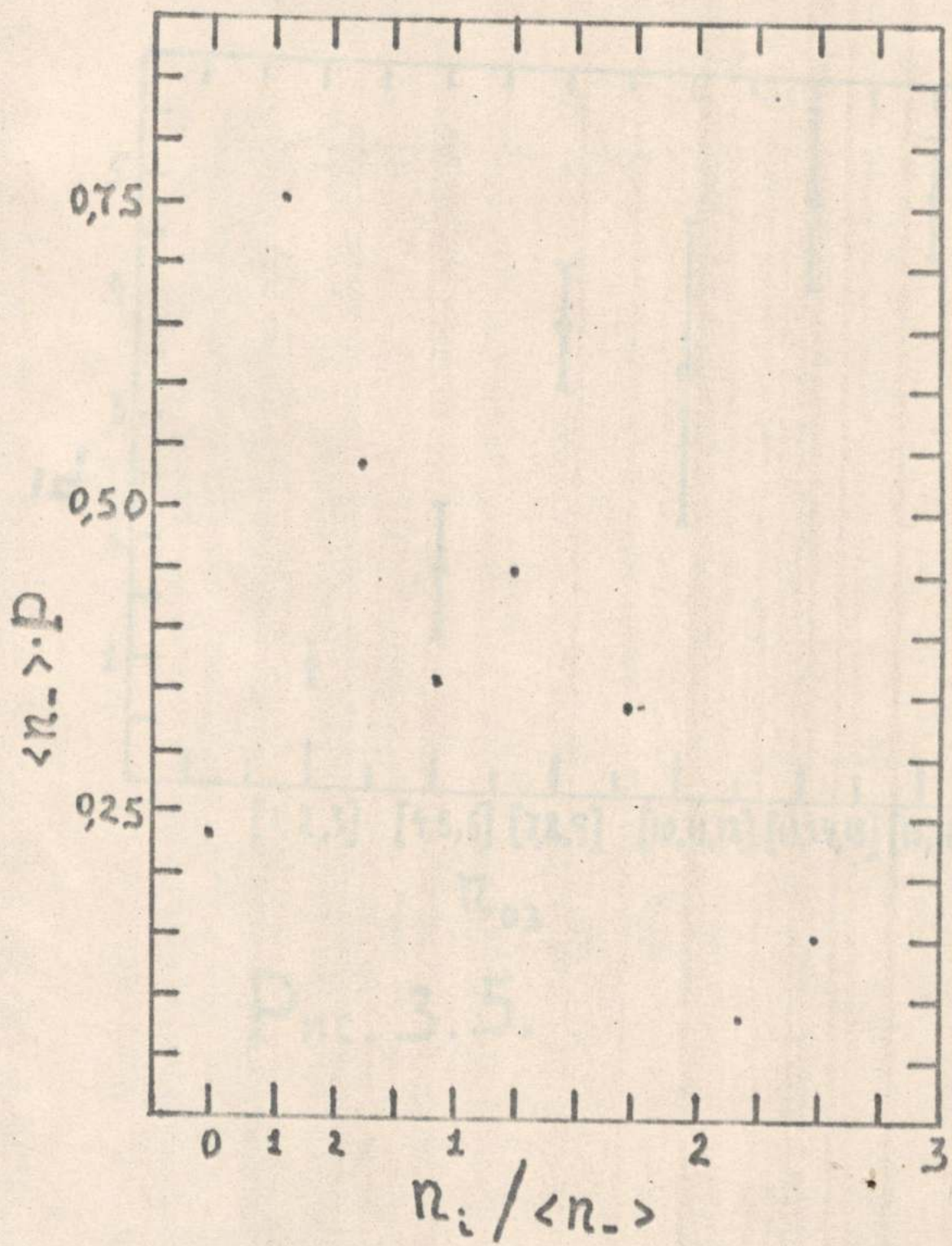


Fig. 3.4.

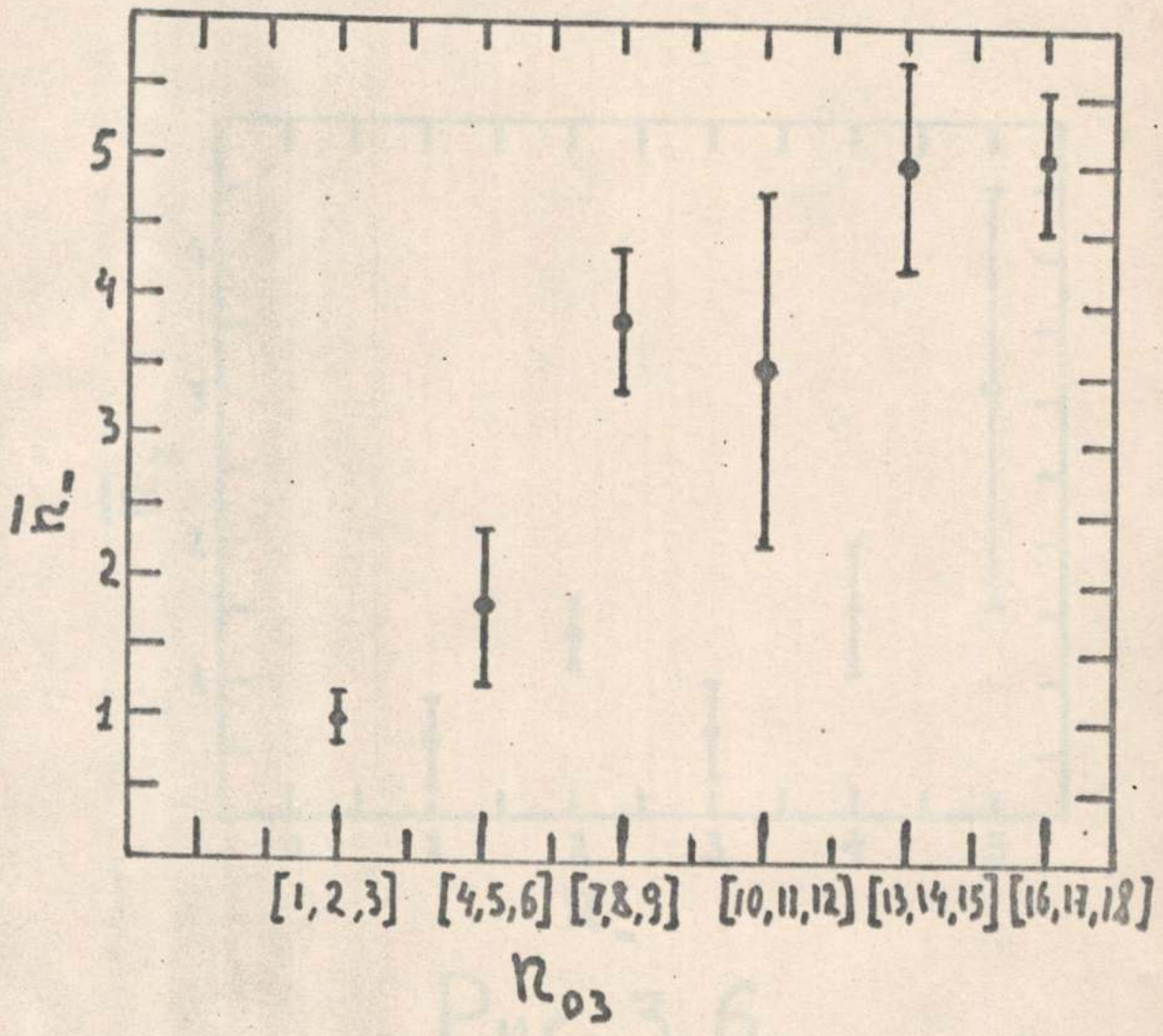


Fig. 3.5.

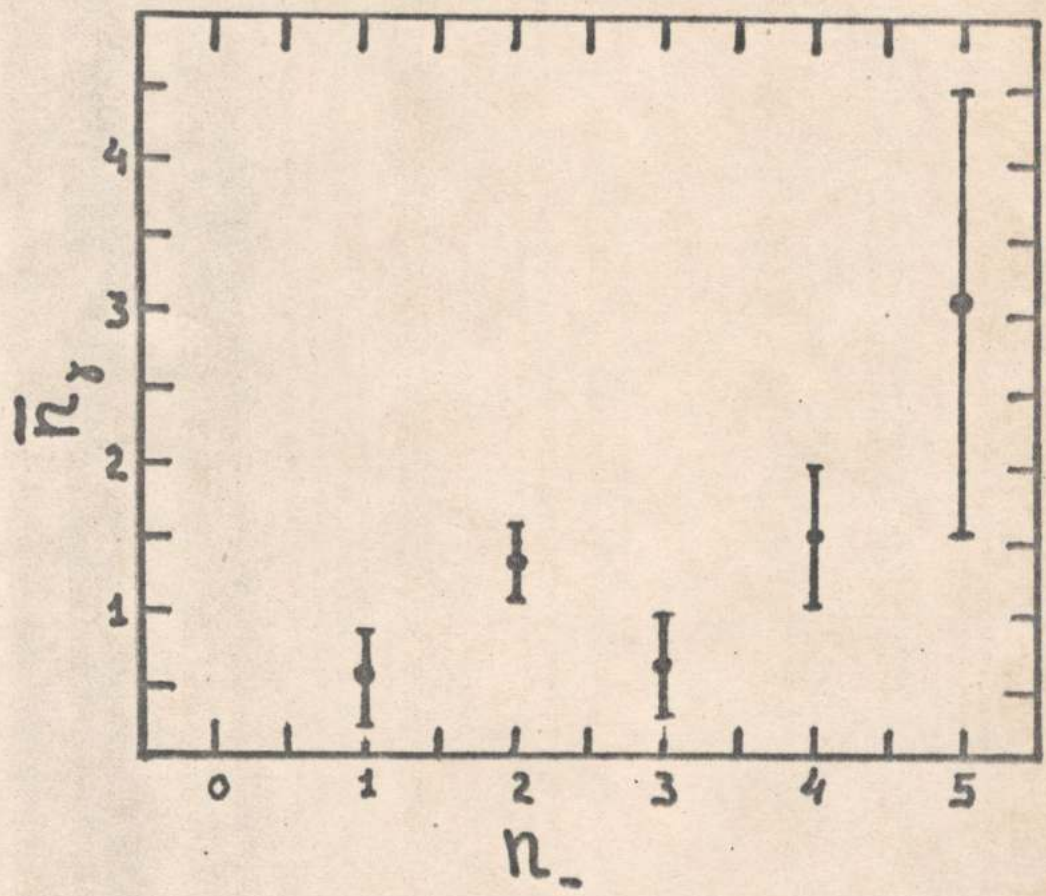


Рис. 3.6.